

شیوه سازی آب دوستی و آب گریزی سطح گرافیت در مقیاس نانو

فرزانه قاسم زاده، سلمان مهاجر

دانشکده فیزیک، دانشگاه خوارزمی، تهران

حکیمہ

شبیه سازی دینامیک مولکولی به منظور سنجیدن حرکت یک قطره ای آب در یک میدان خارجی روی سطح گرافیتی در مقیاس نانو انجام شد. ما سیستم آب-گرافیت را در چهار چیدمان مختلف مطالعه کردیم؛ قطره آب روی یک سطح صاف و سه سطح ناصاف دیگر. نخست استاتیک را مطالعه کردیم و نتایج رفتار زاویه ای تماس را متناسب و مطابق با آزمایش ها و شبیه سازی های قبل بدست آوردمیم. آب دوستی سطح گرافیت با ناصاف کردن آن افزایش می یابد. ما همچنین با سیستم هایی در مقیاس نانو سروکار داریم که سازگاری نتایج را با نظریه پیوسته بیان می کند. همچنین زاویه تماس با افزایش سایز قطره ای آب به طور چشم گیری تغییر نمی کند. دینامیک ذره را در یک میدان خارجی ثابت مطالعه کردیم و دریافتیم که قطره روی یک سطح صاف نسبت به یک سطح ناصاف سریع تر حرکت می کند. ولی وقتی شیارها موادی میدان خارجی ایجاد می شوند با یک سرعت ثابت با بزرگی قابل قیاس نسبت به حرکت روی یک سطح صاف حرکت می کند. این اتفاق به خاطر این می افتد که اصطکاک بین جامد و مایع به خاطر ناصافی سطح افزایش می یابد. همچنین ما مشاهده می کنیم که قطره ای آب روی یک سطح صاف سر می خورد در حالی که روی یک سطح ناصاف می غلتند.

**واژه‌های کلیدی:** شبیه سازی دینامیک مولکولی، آب دوستی سطح گرافیت، نانوشیار، شعاع قطع.

fgh.7192@yahoo.com

۱- مقدمه

یک میدان سرعت نیز رسم شده است تا متوجه شویم که در چه مناطقی قطره‌ی آب سر می‌خورد و در چه مناطقی روی سطح می‌غلتند.

اصلی ترین هدف این کار شناسایی دقیق حرکت قطره ی آب روی سطوح گرافیتی در مقیاس نانو است. می خواهیم پدیده ای اصطکاک بین جامد و مایع را بدانیم و بیاییم که آیا و تا چه حدی امکان پذیر است تا اصطکاک را با افزایش ویژگی آب گریزی سطح کاهش دهیم. در قالب نانو شاره ها این کار انجام می شود که رفتار سیالات در مقیاس نانومتر گفته می شود. مناسب ترین وسیله در این مقیاس شبه سازی های دینامیک مولکولی است.

## ٢- مروء منابع علمي

با گسترش نانو تکنولوژی، یک رشته‌ی جدید فیزیک به نام نانو شاره‌ها به وجود آمد. در مقیاس نانو، نوسانات دمایی در مقیاسی که هیدرودینامیک غالب است نقش چندان مهمی ایفا نمی‌کند. در مقیاس نانو شبیه سازی دینامیک مولکولی در برخی موارد کاربرد دارد. تحقیقات گوناگونی برای آزمودن رفتار یک قطه‌ی مایع روی سطح جامد انجام شده است.

وردر و همکارانش: برهم کنش آب- گرافیت را به وسیله‌ی شبیه سازی دینامیک مولکولی قطرات آب روی سطح گرافیتی شناسایی کردند. آنها دریافتند که انرژی جستنده‌گی بک مولکول آب منفرد

اخيراً، تحقیقات گوناگونی دربارهٔ قطرات مایع روی سطوح جامد توجهٔ زیادی را به خود جلب کرده است، به ویژه برای پوشش آبگزینه منظور مطالعهٔ کاهش ضربت اصطکاک، پوشش‌های ضد خوردگی، سطوح خود تمییز شونده مانند شیشه‌ها و رنگ‌ها و ... [1]. موضوع اصلی کار حاضر، بررسی حرکت ذرهٔ آب روی سطوح گرافیتی در مقیاس نانو است. می‌خواهیم پدیدهٔ اصطکاک بین جامد و مایع را بدانیم و بیابیم که آیا و تا چه حدی امکان پذیر است تا اصطکاک را با افزایش ویژگی آب گریزی سطح کاهش همیم. کار در چارچوب نانو سیالات انجام می‌شود، طوری که بشود رفتار مایعات را در مقیاس نانو نسبت داد. ایزراهمحاسباتی مناسب در این مقیاس شبیه سازی های دینامیک مولکولی می‌باشد.

این گزارش با بررسی منابع و یک توصیف کوتاهی از املاک های مهم دینامیک مولکولی که برای دانستن کارمغایب هستند، شروع می شود. به علاوه مواد روش هایی که مورد استفاده قرار گرفته است را توصیف می کند که خواننده را که برای بخش مباحثه ونتایج آماده کند. نتایج به دو بخش تقسیم می شوند که قسمت اول استاتیک ذره ی آب روی سطح گرافیتی را توصیف می کند. از این بخش ما زاویه ی تماس استاتیکی را بدست می آوریم و آن را با پیش بینی نظریه ی کاسی مقایسه می کنیم. قسمت دوم با دینامیک سیستم سروکار دارد که قطره ی آب روی یک سطح گرافیتی صاف و ناصاف حرکت می کند. از این بخش زاویه ی تماس دینامیکی را بدست می آوریم. سرعت مرکز جرم قطره در شرایط استاتیک هم زمان با زاویه ی تماس دینامیکی بررسی می شود.

**ماتسوموتو و همکارانش:** یک قطره‌ی مایعی را که روی یک سطح جامد قرار گرفته بود توسط روش دینامیک مولکولی شبیه‌سازی کردند تا جنبه‌های میکروسکوپیک تماس جامد- مایع را مطالعه کنند. آن‌ها دریافتند که زاویه‌ی تماس زمانی که دمای سیستم کاهش پیدا می‌کند، افزایش می‌یابد. می‌توان گفت که تأثیر کاهش دما مشابه تأثیر کاهش انرژی پتانسیل است [7].

**پارک و همکارانش:** دریافتند که زاویه‌ی تماس یک قطره‌ی آب روی سطح  $TiO_2$  به طورقابل ملاحظه‌ای توسط تغییرات دمایی تحت تأثیر قرار می‌گیرد، بدین معنا که دما افزایش می‌یابد زاویه‌ی تماس کاهش می‌یابد و آب دوستی سطح بیشتر می‌شود که این می‌تواند بر حسب کشش سطحی تعریف شود، بدین معنی که کشش سطحی با افزایش دما کاهش می‌یابد. با کاهش کشش سطحی، برهمن کنش بین مایع و سطح افزایش می‌یابد و در نتیجه زاویه‌ی تماس کاهش می‌یابد.

زمانی که دما افزایش می‌یابد ساختار آب بیشتر منعطف می‌گردد و این به کشش سطحی کوچکتر منتج می‌گردد [8].

**لند چون و همکارانش:** نتایج شبیه‌سازی دینامیک مولکولی قطره‌ی آب در سطوح سنتونی ساخته شده از ورقه‌های اتم کربن را را لائه کردند. آن‌ها تغییرات زاویه‌ی تماس را با ارتفاع سطون‌ها آزمایش کردند. زاویه‌ی تماس قطره‌ی آب بر فراز یک سطح گرافیکی کاملاً صاف برابر  $83.3 \pm 5.3^\circ$  می‌باشد که به مقدار تجربی ماکروسکوپیک نزدیک است. آن‌ها دریافتند که زاویه‌ی تماس با افزایش ارتفاع سطون‌ها افزایش می‌یابد [9].

**یانگ و همکارانش:** مقیاس نانویی ترشوندگی را روی سطحی با الگوی شیاری با استفاده از شبیه‌سازی دینامیک مولکولی مطالعه کردند. آن‌ها نتایج را برای انواع سطوح آب گریز و آب دوست مقایسه کردند. آن‌ها پارامتر انرژی را تغییر دادند تا میل ترکیبی سطح برای قطره‌ی مایع را از آب دوست به آب گریز تغییر دهند. آن‌ها در یافتند که هرچه جذب ضعیفتر می‌شود بدین معنی که هرچه پارامتر انرژی کوچکتر می‌شود سطح، بیشتر آب گریز می‌شود که به زاویه‌ی تماس بزرگ‌تر منتج می‌گردد. برای سطح آب گریز آن‌ها دریافتند که زاویه‌ی تماس روی یک سطح صاف  $105.5^\circ$  می‌باشد. زمانی که ارتفاع شیار افزایش می‌یابد، زاویه‌ی تماس نیز افزایش می‌یابد. زمانی که ارتفاع به  $7.8\text{ \AA}$  می‌رسد، زاویه‌ی تماس  $131.8^\circ$  تقریباً بدون تغییر باقی می‌ماند زیرا ترکدن شیارها در مقایسه با کاری که برای آن باید انجام شود کار بیهوده است. آن‌ها همچنین دریافتند که اگر عرض شیار بزرگ باشد، مقداری از اتم‌های مایع به آسانی در آن نفوذ می‌کند و زمانی که شیارها عرض‌تر باشند زاویه‌ی تماس بیشتر است. برای یک سطح آب دوست، آن‌ها یک زاویه‌ی تماس  $78.8^\circ$  روی یک سطح صاف یافتند. اگر شیار عمیق‌تر شود اتم‌های مایع بیشتری در شیارها یافت می‌شود که منتج به کاهش در زاویه‌ی تماس می‌شوند. اگر عرض شیار خیلی بزرگ باشد، سطح آب دوست، بخش عمدتی از اتم‌های مایع را به داخل شیارها جذب می‌کند و مقدار کمی از مایع روی سطح باقی می‌ماند. در این موارد زاویه‌ی تماس

روی گرافیت  $\frac{KJ}{mol} - 7.3$  و زاویه‌ی تماس برای یک قطره‌ی آب

$85.5^\circ$  است که در توافق خوبی با آزمایش‌ها است.

**هالورسون و همکارانش:** رفتار دینامیکی یک نانو قطره‌ی مایع خالص روی سطح شبیدار خیس توسط شبیه‌سازی دینامیک مولکولی مطالعه کردند. آن‌ها دریافتند که حرکت بی اختیار قطره‌ی توسط یک نیروی نا متعادل در خط تماس به وجود می‌آید. زمانی که سطح شبیدار ناصاف باشد، قطره در یک نقطه‌ی میانی گیر می‌کرد.

به هر حال یک سطح شبیدار با صافی یکنواخت یافت شد که یک قطره شامل ۲۰۰۰ مولکول آب را به اندازه‌ی فاصله‌ی ۲۵nm یا تقریباً ۱۰ برابر شعاع اولیه‌ی آن درمدت ۱۰ ها نانو ثانیه‌ی جا به جا کرده بود. آنها نتیجه گیری کردند که صافی سطح عامل مهمی است که بفهمیم که آیا قطره‌ی می‌تواند قام سطح را برود یا جایی گیر می‌کند.

**شی و همکارانش:** زاویه‌ی تماس مایعات روی سطوح جامد را به عنوان یکتابع دمای سیستم و پتانسیل برهمن کنش جامد- مایع مطالعه کردند. آنها دریافتند که زاویه‌ی تماس با افزایش دمای سیستم و پتانسیل بر هم کنش جامد- مایع کاهش می‌یابد. وابستگی زاویه‌ی تماس به پتانسیل برهمن کنش جامد- مایع و دمای سیستم توسط شبیه‌سازی مستقیم و با به کاربردن معادله‌ی یانگ در سطح نانو تعیین شد [5]. معادله‌ی یانگ در اینجا یادآوری می‌شود:

$$\cos\theta = \frac{\gamma_{SV} - \gamma_{SL}}{\gamma_{LV}}$$

به طوری که  $\gamma_{SV}$  کشش سطحی جامد- بخار،  $\gamma_{SL}$  کشش سطحی جامد- مایع و  $\gamma_{LV}$  کشش سطحی مایع- بخار می‌باشد.

**مارایوما و همکارانش:** ساختار تماس قطره‌ی مایع روی یک سطح جامد را توسط شبیه‌سازی دینامیک مولکولی مطالعه کردند. آن‌ها دریافتند که پتانسیل بر هم کنش روی شکل قطره‌ی مایع تأثیر می‌گذارد. با افزایش قدرت پتانسیل برهمن کنش بین مولکول‌های سطح و قطره‌ی مایع، حالت ترشوندگی بیشتری مشاهده شد، بدین معنا که زاویه‌ی تماس کوچکتری دیده شد. همان‌طور که معادله‌ی یانگ پیش‌بینی می‌کند، زمانی که پارامتر انرژی بین مولکول‌های مایع و جامد تغییر می‌کند،  $\gamma_{LV}$  ثابت نگه داشته می‌شود و  $\gamma_{SV}$  در مقایسه با  $\gamma_{SL}$  چندان تغییر نمی‌کند زیرا چگالی بخار در مقایسه با چگالی مایع خیلی کمتر است. به دلیل بهره‌ی انرژی پتانسیل در سطح تماس مایع- جامد زمانی که پتانسیل بر هم کنش افزایش می‌یابد  $\gamma_{SL}$  باید به طور متناسب کاهش یابد. سپس ( $\gamma_{SV} - \gamma_{SL}$ ) باید افزایش یابد و معادله‌ی یانگ افزایش  $\cos\theta$  را پیش‌بینی می‌کند [6] که به معنی کاهش زاویه‌ی تماس در مورد سطوح ترشونده می‌باشد.

## ۲-۲- المان‌های مفید شبیه‌سازی‌های دینامیک مولکولی

شبیه‌سازی‌های دینامیک مولکولی از بسیاری جهات شبیه به آزمایشات واقعی می‌باشند. زمانی که یک آزمایش واقعی انجام می‌شود یک نمونه آماده می‌گردد و به یک وسیله‌ی اندازه‌گیری (برای مثال: ترمومتر، فشار سنج، یا ویسکوزیتمتر) متصل می‌گردد و سپس این امکان وجود دارد تا ویژگی دلخواه را در طی یک فاصله‌ی زمانی مشخص مشاهده کنیم.

در یک شبیه‌سازی MD، افراد روش مشابهی را دنبال می‌کنند. نخست، لازم است تا نمونه آماده شود. برای انجام آن یک سیستم مدل شامل N ذره انتخاب می‌شود. سپس یک مسیر توسط حل معادله‌ی حرکت نیوتون برای این سیستم به وجود می‌آید تا زمانی که ویژگی‌های سیستم با زمان تغییر زیادی نکند، بدین معنا که تعادل حاصل شده است.

سپس امکان پذیر است تا اطلاعات خواسته شده درباره‌ی مشاهده پذیرها را با انجام یک عملیات اجرایی بدست آوریم.

یک تفاوت مهم بین شبیه‌سازی‌ها و آزمایش‌ها آن است که در شبیه‌سازی MD امکان پذیر است سیستم را در شرایط فرین مانند دمای زیاد یا کم، فشاری که به طور تجربید در دسترس نیست، مطالعه کنیم. همچنین امکان پذیر است پارامترهای ورودی را تغییر دهیم تا رفتار سیستم را بهتر بفهمیم.

با شبیه‌سازی MD، ما مسیر یک قطربه‌ی آب را روی یک سطح گرافیتی تولید کردیم. بدین معنی که معادله‌ی حرکت تمام اتم‌ها در سیستم حل شد. (یعنی توانستیم معادله‌ی حرکت تمام اتم‌ها را حل کنیم). آن‌ها بر پایه قانون نیوتون هستند.

$$\sum_{j \neq i}^N \vec{F}_i = m_i \vec{a}_i \quad (1)$$

به طوریکه N تعداد ذرات داخل سیستم،  $m_i$  جرم اتم i، و  $\vec{a}_i$  شتاب آن می‌باشد و جمع روی تمام جفت‌های ممکن انجام می‌پذیرد. (یعنی هر بار همه‌ی مولکول‌ها با یک مولکول مرتع تشکیل جفت می‌دهند و جمع روی همه‌ی آن‌ها انجام می‌شود).

در یک شبیه‌سازی MD معادلات حرکت به صورت گستته به هم ملحق می‌شوند. توزیع مکان‌ها و سرعت‌ها با استفاده از یک نرم افزار انجام می‌شود. در برنامه از یک نرم افزار تکمیل شده، استفاده کردیم. آن نرم افزار یک توصیف برای مکان‌های توزیع شده با استفاده از مکان‌ها و سرعت‌های قبلی ارائه می‌کند:

$$\vec{r}_i(t + \Delta t) = \vec{r}_i(t) + \vec{v}_i(t + \frac{\Delta t}{2}) \Delta t \quad (2)$$

به طوری که  $r$  مکان و  $v$  سرعت هر ذره می‌باشد و  $\Delta t$  گام زمانی است. سپس، سرعت از معادله‌ی زیر به دست می‌آید:

$$\vec{v}_i(t + \frac{\Delta t}{2}) = \vec{v}_i(t - \frac{\Delta t}{2}) + \Delta t \frac{\vec{F}_i(t)}{m_i} \quad (3)$$

در شبیه‌سازی‌هایمان  $1 \text{ fs} = \Delta t$  را انتخاب کردیم. نیروی برایند برای هر ذره با مشتق گیری از پتانسیل U به دست می‌آید:

می‌تواند به  $0^\circ$  برسد. زمانی که عرض شیار کاهش می‌یابد، زاویه تماش افزایش می‌یابد [10].

**هیروی و همکارانش:** شبیه‌سازی دینامیک مولکولی را برای مطالعهٔ ترشوندگی نانو شیارهای سطوح پلیمری PE و PVC استفاده کردند. آن‌ها دریافتند که قطربه‌ی آب روی یک سطح PE ناصاف به داخل شیارها نفوذ نمی‌کند در حالی که آب، شیارهای مشابه اما کمی عمیق‌تر را در سطح PVC پر می‌کند. رفتار ترشوندگی سطوح PE و PVC که به طور مشابه شیاربندی شده‌اند، بسیار متفاوت است. بدین دلیل که سطح PVC صاف آب پذیری ضعیف تری دارد و در نتیجه، زاویه‌ی تماش کوچکتری خواهد داشت. تفاوت بین مقادیر نظری و شبیه‌سازی شده با افزایش ابعاد شیارهای سطح کاهش می‌یابد. آن‌ها دریافتند که زاویه‌ی تماش در جهت شیارها از زاویه‌ی تماش در سطح عمودی کمتر است و اختلاف بین این دو زاویه با افزایش سایز قطره‌ی آب کاهش می‌یابد [11].

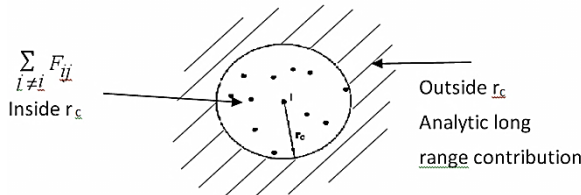
**هانگ و همکارانش:** شبیه‌سازی دینامیک مولکولی را برای مطالعهٔ تفاوت بین زاویه‌ی تماش پسین و پیشین یک قطربه‌ی آب متحرك روی یک سطح جامد، استفاده کردند. آن‌ها همچنین نتایج یک قطربه‌ی آب متحرك را با نتایج یک قطربه‌ی آب ثابت مقایسه کردند. آن‌ها یک نیروی خارجی (نیروی که به طور هم زمان به تمام اجزای قطره اعمال می‌شود) در جهت ثابت محور افقی وارد کردند.

آن‌ها برهم کنش بین مولکول‌های آب و سطح جامد را به وسیلهٔ تغییر در پارامترهای انرژی جامد از ۲۰۰ تا  $100 \frac{kcal}{mol}$  دادند. آن‌ها دریافتند که زاویه‌ی تماش استاتیکی یک قطربه‌ی آب روی یک سطح جامد به ازاء  $1,15, 2 \frac{kcal}{mol}$  برابر باشد.

برابر است با  $106^\circ$ ,  $98.8^\circ$ ,  $70.7^\circ$ . برای زاویه‌ی تماش دینامیکی آن‌ها دریافتند زمانی که پارامتر انرژی جامد افزایش می‌یابد، بر هم کنش بین مولکول‌های آب و جامد افزایش می‌یابد و زاویه‌ی تماش کاهش می‌یابد. به علاوه تفاوت بین زاویه‌ی تماش پیشین و پسین یک قطربه‌ی متحرك زمانی که پارامتر انرژی افزایش می‌یابد، بیشتر می‌شود. آن‌ها دریافتند که آن زوایا برای  $1,15, 2 \frac{kcal}{mol}$  برابر باشد.

هدف کار فعلی، مطالعه‌ی حرکت القا شده‌ی یک قطربه‌ی آب روی یک سطح گرافیتی به خاطر اثر یک میدان خارجی، می‌باشد. به عنوان یک روش اصلی، برای بهینه کردن ذات برهم کنش بین مایع و سطح، سطح را ناصاف می‌کنیم. توسط پال و همکارانش فهمیده شد [13] که ناهموار کردن یک سطح جامد در مقیاس نانو آب دوستی سطح را افزایش می‌دهد.

کنش بین ذرات خارج از ناحیه‌ی قطع همان‌طور که در شکل (۲) نشان داده شده به صورت تحلیلی در نظر گرفته شده است.



شکل ۲: برهم کنش‌های شعاع قطع

یکی از بحث برانگیزترین مسائل در محاسبه‌ی شعاع قطع، تعیین طول بهینه‌ای است که باید در محاسبات منظور شود. اگر ما شعاع قطع را خیلی کوچک در نظر بگیریم سهم عمدتی از انرژی ذرات که به ازاء شعاع قطع بیشتر برهم کنش‌های بین ذرات را نادیده بگیریم. خطای حاصل زمانی که ما برهم کنش‌های بین ذرات را در فواصل بزرگ، نادیده می‌گیریم با انتخاب شعاع قطعی به اندازه‌ی کافی بزرگ می‌تواندبه طور دلخواه کوچک شود[۱۵] از طرف دیگر اگر شعاع قطع خیلی خیلی بزرگ باشد زمان محاسبات را افزایش می‌دهیم. معرفی شعاع قطع باید دقیق باشد و فاصله‌ی قطع به اندازه‌ی کافی بزرگ انتخاب شود تا این معرفی اطمینان بخش باشد[۱۴].

شعاع قطع معمولاً  $2.5\sigma$  برابر پارامتر  $\sigma$  لنارد- جونز در شبیه‌سازی MD شاره‌ها انتخاب می‌شود [۱۴]. در پروژه‌ی ما، استفاده از پارامتر  $\sigma$  آب، شعاع قطع تقریباً  $0.9\text{nm}$  را بدست می‌دهد.

علاوه براین، اسمیت و وان گانسترن [۱۶] نوشتند که اگر یک شعاع قطع برای سیستمی که شامل مولکول‌های قطبی مانند آب هستند، به کار گرفته شوند، خطای قابل توجهی به وجود می‌آید که دقت مدل را کاهش می‌دهد. یک تکنیک ساده برای کاهش آن خطای، تکنیک میدان برهم کنش می‌باشد. در این رهیافت هدف در برگیری برهم کنش‌های نادیده گرفته شده با فرض اینکه مولکول‌های خارج از شعاع قطع مانند یک دی الکتریک پیوسنستار دارای یک ثابت مشخص، می‌باشد. برهم کنش بین توزیع بار درون کره‌ی قطع و محیط دی الکتریک می‌تواند بر حسب یک عکس العمل محیط پیرامون به توزیع بار بیان شود، که تحت عنوان میدان عکس العمل شناخته می‌شود(RF). این نوع روش می‌تواند دقت یک مدل خاص را مخصوصاً اگر تأثیرات دی

الکتریک مانند آب مهم باشد به طور چشم گیری بهبود دهد. در روش قبلی پتانسیل کولنی در معادله‌ی (۵) توسط یک عبارت تصحیح کننده که به میدان عکس العمل وابسته است، تکمیل می‌شود و به صورت معادله‌ی (۶) در می‌آید.

$$U = \frac{q_i q_j}{4\pi\epsilon_0} \left( \frac{1}{r_{ij}} + \frac{\epsilon_{RF} - 1}{2\epsilon_{RF} + 1} \frac{r_{ij}^2}{r_c^3} \right) \quad (6)$$

ما از روش میدان عکس العمل با یک ثابت دی الکتریک آب در شرایط عادی، استفاده کردیم. یعنی  $\epsilon_{RF} = 72$  [۱۷].

به طوری که  $\vec{\nabla}$  عملگر گرادیان می‌باشد.

(4)

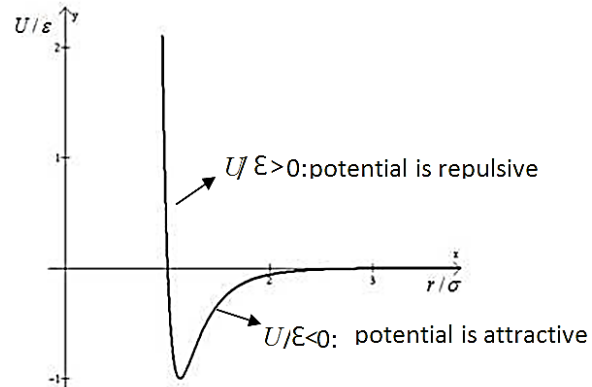
$$\vec{F} = \sum_{j \neq i}^N -\vec{\nabla}_j U(r_{ij})$$

پتانسیل برابر است با :

(5)

$$U(r_{ij}) = 4\epsilon_{ij} \left[ \left( \frac{\sigma_{ij}}{r_{ij}} \right)^{12} - \left( \frac{\sigma_{ij}}{r_{ij}} \right)^6 \right] + \frac{1}{r_{ij}} \frac{q_i q_j}{4\pi\epsilon_0}$$

بخش اول، پتانسیل لنارد- جونز (LJ) می‌باشد که توسط پارامتر انرژی  $\epsilon_{ij}$  و پارامتر فاصله  $\sigma_{ij}$  تعیین می‌شود. همان‌طور که در شکل ۱ نشان داده شده است،  $\epsilon_{ij}$  ماکریم شد برهم کنش LJ می‌باشد و  $r_{ij}$  فاصله‌ی بین اتم  $i$  و  $j$  می‌باشد که درکمتر از آن برهم کنش دافعه است. بنابراین  $\epsilon_{ij}$  شامل همه‌ی اتم‌های حجم غیر از اتم‌های  $i$  و  $j$  مربوط می‌شود.



شکل ۱: انرژی پتانسیل لنارد- جونز در واحد انرژی نسبت به فاصله. بیشترین برهم کنش  $\epsilon$  و پتانسیل در  $r = \sigma$  صفر است.

بخش دوم معادله‌ی (۵) پتانسیل کولنی بین دو بار  $i$  و  $j$  می‌باشد که به ترتیب مربوط به اتم‌های  $i$  و  $j$  هستند.

برای توصیف جاذبه‌ی برهم کنش واندروالس به کار می‌رود، و عبارت  $\left( \frac{\sigma_{ij}}{r_{ij}} \right)^6$  نماد گذردهی خلا می‌باشد. در ساختار LJ، عبارت  $\left( \frac{\sigma_{ij}}{r_{ij}} \right)^{12}$  برهم کنش دافعه را توصیف می‌کند.

طبق معادله‌ی (۴)، باید تمام زوج برهم کنش‌های ممکن را در سیستم لحاظ کنیم تا اینکه نیروی کلی که روی یک ذره عمل می‌کند را محاسبه نماییم. اما، تمام ذرات نقش یکسانی در برهم کنش ندارند: ذرات دورتر در مقایسه با آنها که نزدیکترند نقش قابل اعتمادی دارند. همچنین، محاسبه‌ی تمام برهم کنش‌ها زمان بر می‌باشد.

بنابراین، می‌توان یک حد بهینه،  $(r_C)$  تعیین کرد که بر هم کنش بین ذره‌ی مرکزی با ذرات درون ناحیه‌ی قطع، حداکثر باشد. برهم

ای از خوش‌های کامپیوتری که محاسبات موازی را با حداقل هشت پردازشگر امکان پذیر می‌کرد انجام شد.

### ۱-۳- آماده سازی مونه‌ها

این قسمت از کار آماده سازی مونه‌های مطالعه شده را توضیح می‌دهد. باید از آماده سازی قطره‌ی آب از مولکول‌های آب روی سطوح گرافیتی آغاز کرد.

### ۱-۱-۳- قطره‌ی آب

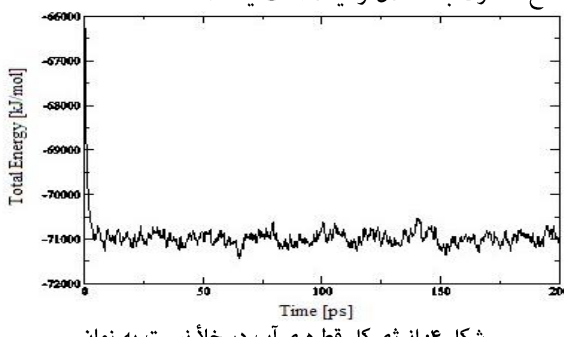
این قسمت توضیح می‌دهد که چگونه می‌توان یک قطره‌ی آب از یک جعبه‌ی شبیه‌سازی که شامل فاز مایع می‌باشد، تولید کرد. به منظور انجام آن، ما با متعادل کردن یک جعبه‌ی شبیه‌سازی مکعبی با ۴۰۰۰ مولکول آب قرار گرفته شده روی یک شبکه مکعبی، شروع می‌کنیم. (شکل ۳-۱). در پایان، جعبه‌ی شبیه‌سازی شامل یک فاز مایع به تعادل رسیده از آب می‌باشد که از آن یک قطره‌ی خارج می‌کنیم. آخرین گام، همانند سازی قطره‌ی آب می‌باشد، بدلیل اینکه یک سطح مشترک به وجود آمده است. در نهایت، یک قطره‌ی ۱۹۴۳ مولکولی بدست آمد. (شکل ۳-۱). در پاراگراف بعد توضیحات بیشتری درباره مراحلی که توصیف شد، می‌دهیم.

ما با قرار دادن ۴۰۰۰ مولکول آب در یک جعبه‌ی مکعبی که دارای طول ضلع ۰.۵ nm بود، آغاز کردیم. ما از شعاع قطع ۲۰۰ ps در دمای ۲۹۸ K و فشار ۱ atm با زمان تعادلی ۰.۹ nm استفاده کردیم. در نهایت شبیه‌سازی شامل آب مایع با چگالی ۱۰۰۰ Kg/m<sup>3</sup> شد.

با دنبال کردن آن، گام دوم تهیه‌ی قطره بود. از جعبه‌ی مایع تعادل یافته امکان پذیر بود که قطره‌ی آب را تهیه کرد. یک برنامه نوشته شد تا یک قطره‌ی از جعبه‌ی مایع بdest آید. آن برنامه مکان هر مولکول را می‌خواند و فاصله‌ی مولکول تا مبدأ را محاسبه می‌کرد. به علاوه برنامه مولکول‌هایی را که در فاصله‌ی تقریبی کمتر از ۲.۵ nm بودند را نگه داشت. سپس یک قطره‌ی آب ۱۹۴۳ مولکولی حاصل می‌شد.

در مرحله‌ی قبل با تولید قطره‌ی از یک فاز مایع، ما یک سطح مشترک - خلاً تولید کردیم که همگن نبود.

بعض آخر، همانند سازی قطره‌ی آب با ۱.۵ nm =  $r_c$  بود. (در پاراگراف ۳.۱.۲ این توضیح داده خواهد شد که چرا شعاع قطع به ۱.۵ nm تغییر می‌کند) آزمایش در طی ۲۰۰ ps در دمای ثابت ۱۰۰ K انجام شد. در انتهای شبیه‌سازی این امکان وجود داشت تا همگرایی انرژی کل سیستم را تغییر دهیم و بررسی کنیم که آیا سطح مشترک به تعادل رسیده است یا نه؟



### ۳. مواد و روش‌ها

موادی که در این کار مطالعه شد به آب روی سطوح با پایه‌ی گرافیتی مربوط می‌شود. بررسی‌ها با یک قطره‌ی آب روی یک سطح صاف آغاز می‌شود. سپس، آب روی یک سطح ناصاف قرار می‌گیرد. در این مورد می‌توان سه نوع سطح ناصاف متفاوت را آنالیز کرد که به صورت جزئی تر در بخش ۳.۲ توصیف می‌شود.

ابزاری که انتخاب کردیم شبیه‌سازی دینامیک مولکولی می‌باشد.

پارامترهای مدل آب از مدل بسیار مشهور SPC/E (مدل گستردگی شده‌ی بار نقطه‌ای) استفاده شد[18]. این پتانسیل یک مولکول آب تنها را مانند مجموعه‌ای از اجرام نقطه‌ای صلب در نظر می‌گیرد.

جدول ۱: پارامترهای مدل آب

	$\epsilon_{ii}$ [kJ/mol]	$\sigma_{ii}$ [nm]	q/e		
H	0	0	0.4238	$d_{OH}$	0.1 nm
O	0.65017	0.3166	-0.8476	$HOH$	109.47°

از سوی دیگر، انرژی پتانسیل برای توصیف بر هم کنش‌های درون لایه‌های گرافیتی جامد مانند زیر نوشته می‌شود:

$$U = U_{bonds} + U_{angles} + U_{harmonic} \quad (7)$$

$$+ U_{dihedrals} + U_{non-bonded}$$

به طوری که  $U_{n-b}$  یک پتانسیل LJ می‌باشد.  $U_{h-d}$  و  $U_{angels}$  توسط یک پتانسیل هارمونیک دارای شرایط عمومی مدل می‌شوند:

$$(7) \quad U_y = \frac{K_y}{2} \sum_{i=1}^{M_y} (X_i - X_o)^2$$

اندیس y می‌تواند توسط پیوندها، زوایا و هماهنگ‌های دو سطحی جایگزین شود.

$M_y$  تعداد پیوندها یا زوایا می‌باشد.  $X_0$  مقدار تعادل طول پیوندها و اندازه‌ی زوایا می‌باشد.  $K_y$  ثابت نیروی برهم کنش مربوط به پیوند یا زاویه می‌باشد. پتانسیل غیر پیوندی بخشی از برهم کنش درون مولکولی را تشکیل می‌دهد و از پتانسیل LJ که قبلًا بیان شد، محاسبه می‌شود. پارامترهای گرافیت در جدول ۲ نشان داده شده است.

جدول ۲: پارامترهای گرافیت [۱۹]

	$\epsilon_{ii}$ [kJ/mol]	$\sigma_{ii}$ [nm]	q	Ky	X0
C	0.2363	0.3214	0	-	-
Bonds	-	-	-	25.86 (kJ/mol/nm <sup>2</sup> )	0.142 nm
Angles in plane	-	-	-	418.4 (kJ/mol/rad <sup>2</sup> )	120°
Angles out plane	-	-	-	334.72 (kJ/mol/rad <sup>2</sup> )	90°
Dihedral angles	-	-	-	0 or 100.42 (kJ/mol/rad <sup>2</sup> )	0 or 180°

برای محاسبه‌ی برهم کنش کربن-آب ما از  $0.319\text{nm}$  - آب  $\epsilon_{CO} = 0.4389\text{ KJ.mol}^{-1}$  استفاده کردیم. بدلیل اینکه آن‌ها مقدار زاویه‌ی قماس آب روی سطح گرافیتی را نزدیک با مقادیر تجربی نتیجه می‌دادند [3].

در این کار از بسته‌ی شبیه‌سازی دینامیک مولکولی YASP که توسط فلورین مولر-پلاته [20] تولید شده است، برای انجام شبیه‌سازی‌ها استفاده شد. شبیه‌سازی‌ها با استفاده از شبکه

جدول ۳ : نتایج محاسبات کشش سطحی

Cut-off [nm]	$\gamma_{LV}$ [mN/m]
0.9	55 +/- 3
1.1	56 +/- 3
1.3	56 +/- 3
1.5	58 +/- 3
1.7	60 +/- 3

تمام شعاع قطع‌ها به طور تقریبی مقدار یکسانی از کشش سطحی را بدست می‌دهند. با اینکه یک روند افزایشی برای مقدار آن وقتی که شعاع قطع افزایش می‌یابد وجود دارد، این با نتایج بایداکوف در توافق است [۲۱].

به طور کمی، نتایج با مطالعه‌ی وگا و همکارانش [۲۲] هم خوانی دارد که آن‌ها دریافتند که مدل SPC/E یک کشش سطحی  $60.2 \text{ mN/m}$  را با  $2_c = 1.25 \text{ nm}$  در همان شرایط به دست می‌دهد.

ما در نهایت تصمیم گرفتیم شعاع قطع  $1.5 \text{ nm}$  را با یک ثابت دی‌کلتریک میدان بر هم کنش ۷۲ برای قسمت‌های بعدی مطالعه‌مان نگه داریم زیرا مقدار خوبی برای کشش سطحی به ما می‌دهد و تعداد برهم کنش‌ها را برای محاسبه در مقایسه با شعاع قطع‌های بزرگتر به حداقل می‌رساند. این توضیح می‌دهد که چرا ما  $2_c = 1.5 \text{ nm}$  را برای به تعادل رساندن قطره‌ی آب در خلا استفاده کردیم.

#### ۲-۳- توصیف سطح جامد

بعد از به تعادل رساندن قطره در خلا، آن را روی یک سطح گرافیتی (شکل ۵ سمت چپ) قرار دادیم. یک برنامه نوشته شد تا سطح گرافیتی را تولید کند. پارامترهایی که در شکل گیری آن مؤثر بودند در جدول ۲ نشان داده شده است. سطح دو لایه دارد. طبق گزارش وردر و همکارانش [۳] ورقه‌هایی از گرافیت که در خارج از شعاع قطع هستند تأثیر چشم گیری روی قطره آب به واسطه‌ی به کارگیری شعاع قطع ندارد، لازم نیست. (یعنی وقتی که شعاع قطره را در نظر گرفتیم دیگر تاثیری ندارد و ما دیگر آن‌ها را محاسبه نمی‌کنیم). سطح جامد در انتهای شبیه سازی شامل  $470.4 \text{ nm}$  می‌باشد و ابعاد آن‌ها  $12 \times 5 \text{ nm}^2$  در صفحه  $xy$  می‌باشد. ما ابعاد جعبه را به این خاطر که آخرین قطره به شکل استوانه‌ای درآید، انتخاب کردیم. (شکل ۵ سمت راست) این شکل تحلیل زاویه‌ی تماس قطره روی سطح گرافیتی را ساده می‌کند [۲۳]. در واقع ما با انجام محاسبات با یک قطره کروی آغاز کردیم و دریافتیم که سطح مشترک به خاطر سایز قطره که آنالیز زاویه‌ی تماس و شکل را مشکل می‌کند، به طور چشمگیری بالا و پایین می‌رفت (نوسان می‌کرد). به خاطر سایز قطره که آنالیز زاویه‌ی تماس و شکل را مشکل می‌کند.

همان‌طور که در شکل ۴ می‌توان ملاحظه کرد، انرژی کل به طور وسیع (در کمتر از  $5 \text{ ps}$ ) کاهش می‌یابد و حول یک مقدار میانگین ثابت، نوسان می‌کند. پس می‌توان نتیجه گرفت که سیستم به تعادل رسیده است. زمان محاسبه‌ی این فرایند با استفاده از دو ماشین پردازشگر در گروه محاسباتی کامپیوتر خوش‌های  $15\text{h}$  بود.

#### ۲-۱-۳- انتخاب شعاع قطع

قطره سیستمی با مرزهای داخلی است و دیگر یک سیستم پیوسته نیست. بنابراین می‌توان پرسید که آیا کاربرد شعاع قطع با برهم کنش بلند برد معمولی به انرژی مرتبط هست یا نه؟ به طور ایده‌آل، می‌توان تمام بر هم کنش‌های ممکن را به دلیل اینکه سیستم در فضا توسط مرز مشترک جدا شده است، محاسبه کرد. با این وجود، با توجه به اندازه سایز قطره‌ی داده شده، محاسبات بسیار طولانی مورد نیاز خواهد بود. بنابراین ما هنوز از روش قطع و میدان عکس العمل استفاده می‌کنیم. همان‌طور که توضیح دادیم این روش به دلیل اینکه میدان عکس العمل به سیستم پیوسته اعمال می‌شود، دقیق نیست. ما تخمین خود را با محاسبه‌ی کشش سطحی آب در مرز مایع-بخار آزمایش کردیم. چون آن انرژی بخش مهمی از انرژی آزاد قطره می‌باشد.

بایداکوف و همکارانش: تاثیر شعاع قطع را روی کشش سطحی مطالعه کردند. آن‌ها دریافتند که افزایش  $2_c$  با افزایش چگالی فاز مایع و نیز با کاهش چگالی فاز بخار و نیز افزایش کشش سطحی همراه است [۲۱].

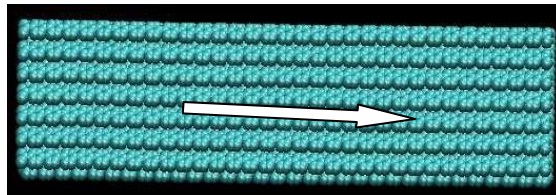
وگا و همکارانش: برآورد کشش سطحی برای آب را از شبیه سازی‌های چندین مدل آب بدست آوردند. مقدار کشش سطحی برای مدل SPC/E طوری به دست آمد که به طور منطقی در توافق خوبی با مقادیر تجربی ( $71.7 \text{ mN/m}$ ) [۲۲] و در شرایط شبیه سطحی  $60.2 \text{ mN/m}$  به دست آمد. کشش سطحی یا کشنش بین وجوده بین دو فاز می‌تواند با جمع کردن فشار نامنظم در طول سطح مشترک بدست آید. می‌توان از این فرمول استفاده کرد :

$$\gamma_{LV} = \frac{L}{2} [P_N - P_T] \quad (9)$$

به طوری که  $P_N = P_{zz}$  برابر اجزای نرمال (مربوط به جهت عمود بر سطح) تانسور فشار و  $P_T = 1/2(P_{xx} + P_{yy})$  برابر تانسور فشار مماسی است.  $L$  سایز سیستم در جهت  $z$  و فاکتور  $1/2$  از این حقیقت ناشی می‌شود که در شبیه سازی سیستم دو سطح مشترک وجود دارد.

ما ساختن یک سطح مشترک مایع-بخار را با استفاده از یک سیستم که شامل  $1555$  مولکول آب و یک جعبه با شکلی که در امتداد محور  $z$  کشیده شده و سایز  $3.6 \times 3.6 \times 7.2 \text{ nm}^3$  می‌باشد، آغاز کردیم. ما از  $2_c$  متفاوت استفاده کردیم. بعد از تعادل کشش سطحی با استفاده از معادله (۹) محاسبه شد. نتایج در جدول (۳) گزارش شده‌اند.

نوع آخر به شیارهای مسیریابی شده در محور x مربوط می‌شود. چگالی اتمهای کربن غیر برهم کشی همان چگالی موجود در نوع اول می‌باشد، همان طور که در شکل ۸ نشان داده شده است.

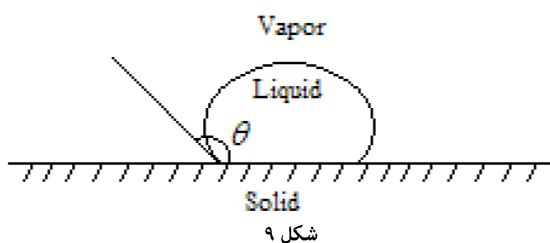


شکل ۸

در این شرایط در بخش بعد نشان داده خواهد شد که زاویه ای تماس مشابه سطح نوع اول است.

### ۳-۳-۳- اندازه‌گیری زاویه ای تماس استاتیکی

پس از به تعادل رساندن قطره آب روی سطح گرافیتی امکان پذیر بود تا زاویه ای تماس استاتیکی را به دست آوریم که به صورت زیر تعریف می‌شود: زمانی که یک قطره ای مایع روی یک سطح جامد قرار می‌گیرد در شرایط تعادل یک شکل خاصی به خود می‌گیرد که توسط زاویه ای تماس  $\theta$  داده می‌شود (شکل ۹).

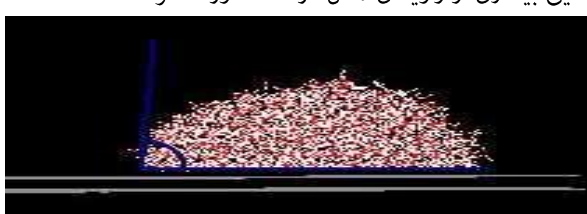


شکل ۹

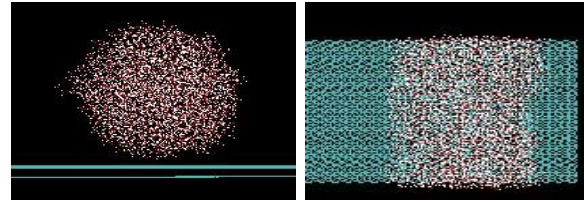
معادله ای یانگ نشان می‌دهد که  $\theta$  به کشنش‌های سطحی در سیستم بستگی دارد، یعنی کشنش سطحی جامد- بخار،  $\gamma_{SV}$ ، کشنش سطحی جامد- مایع،  $\gamma_{SL}$ ، و کشنش سطحی مایع- بخار،  $\gamma_{LV}$

$$\cos \theta = \frac{\gamma_{SV} - \gamma_{SL}}{\gamma_{LV}} \quad (10)$$

در مورد آب، اگر  $\theta > 90^\circ$ ، جامد آب گریز در نظر گرفته می‌شود، در حالی که اگر  $\theta < 90^\circ$ ، جامد آب دوست می‌باشد. در شکل ۱۰ می‌توان دید که سیستم متعادل ما یک زاویه ای تماسی را که تقریباً برابر با  $90^\circ$  است نمایش می‌دهد که با شبیه‌سازی‌های پیشین با استفاده از مدل یکسان و همچنین با زاویه ای تماس تجربی معرفی شده در [۳] در توافق است. ارزیابی‌های دقیق بیشتری از زاویه ای تماس در ادامه آورده خواهد شد.



شکل ۱۰



شکل ۵

ما یک شبیه‌سازی ۵۰۰ پیکو ثانیه‌ای انجام دادیم تا سیستم تولید شده از قطرات آب روی گرافیت را به تعادل برسانیم. زمان محاسبه این عمل ۷۴h باستفاده از شبیه‌سازی‌های موزایی با هشت پردازشگر بود. نظر بر این بود که زمانی که انرژی کل به یک مقدار کمینه برسد تعادل حاصل می‌شود. بعد از تنظیم قطره آب روی یک سطح آب دوست ضعیف مانند سطح گرافیت جامد صاف، می‌خواهیم نتایج را با زمانی که قطره آب روی یک سطح آب گریز قرار دارد، مقایسه می‌کنیم. همان طور که لند جرن و همکارانش اشاره کردند، زمانی که ناهمواری سطح افزایش می‌یابد سطح بیشتر آب گریز می‌شود که یک افزایش در زاویه تماس به دست می‌آید[24]. همچنین پال و همکارانش بیان کردند که ویژگی آب دوستی به تعداد تماس‌هایی که مولکول‌های آب با اتم‌های سطح ایجاد می‌کنند، بستگی دارد. بدین معنا که هرچه تعداد تماس بیشتری وجود داشته باشد، آب دوستی کمتر است

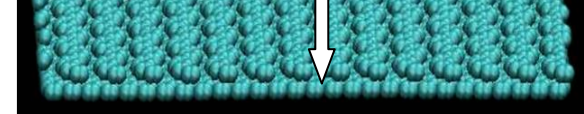
[25]. در اینجا، سطح آب گریز با ایجاد شیارهایی در سطح صاف ساخته شده‌اند. شیارها توسط کدن تعدادی از اتم‌های کربن از سطح صاف ساخته شدند. در عمل، برهم کنش بین آب و اتم‌های کنده شده صفر در نظر گرفته شده است و مولکول‌های آب حضور آنها را روی سطح احساس نمی‌کردند.

در تمام مطالعه‌های موقوعیت ورقه‌های گرافیتی را به گونه‌ای

تعیین می‌کنیم که در فضای صفحه xy باشند و بعد بزرگتر در

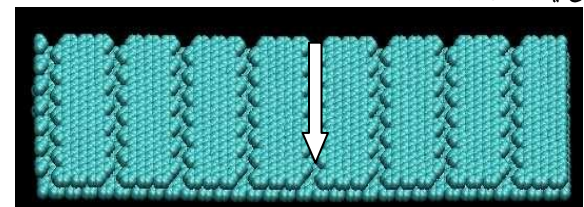
طول محور x است. در تحقیق ارائه شده، سه نوع متفاوت از

سطح شیاردار وجود دارد. نوع اول به شیارهایی در امتداد محور y مربوط می‌شود(فلش سفید در شکل ۶).

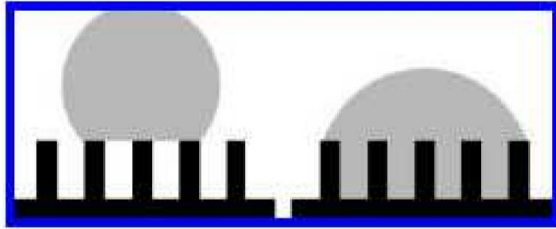


شکل ۶

در نوع دوم، شیارها در همان مسیر ساخته شده‌اند اما فاصله بین آنها بیشتر است. بنابراین، تعداد اتم‌های کربن غیر برهم کمتری با آب، نسبت به آنچه در شکل ۱ وجود دارد، به دست می‌آید(شکل ۷).



شکل ۷



شکل ۱۲

در محاسبات ما، شرایط رطوبتی مشاهده شده به شرایط رطوبتی تئوری کاسی نزدیکتر است که دریخش نتایج نشان داده خواهد شد.

#### ۴- نتایج و بحث‌ها

ما ذرات با سایزهای مختلف شامل ۱۹۴۳، ۴۷۳۸، ۳۷۷۷، ۲۸۲۹، ۴۷۳۸ مولکول آب را شبیه سازی کردیم. برای هر مجموعه ای از قطره‌ی آب روی سطح گرافیت، زاویه‌ی تماس استاتیکی را اندازه‌گرفتیم و نتایج در جدول ۴ نشان داده شده‌اند. در مورد صفحات با شیار، فاکتور  $f$  که در معادله‌ی کاسی تعریف شد، از رابطه‌ی زیر محاسبه می‌شود:

$$f = 1 - \frac{N_{C,grooves}}{N_{C,sheet}} \quad (16)$$

تعداد اتم‌های کربن است که از صفحه‌ی جدا شده است تا شیارها ایجاد شوند و  $N_{C,grooves}$  تعداد اتم‌های کربن در یک تک صفحه‌ی گرافن است.

جدول ۴

#### Flat Surface

Size	R	$\theta$
1943	$2.63 \pm 0.08$	$79 \pm 3$
2829	$3.02 \pm 0.08$	$84 \pm 3$
3777	$4.00 \pm 0.08$	$87 \pm 3$
4738	$4.09 \pm 0.08$	$80 \pm 2$

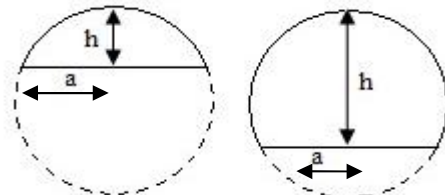
#### Rough Surface Type 1

Size	R	$\theta$
1943	$2.08 \pm 0.08$	$113 \pm 5$
2829	$2.25 \pm 0.08$	$116 \pm 5$
3777	$2.61 \pm 0.08$	$116 \pm 5$
4738	$3.03 \pm 0.08$	$111 \pm 4$

#### Rough Surface Type 2

Size	R [nm]	$\theta$
1943	$2.17 \pm 0.08$	$101 \pm 5$
2829	$2.74 \pm 0.08$	$91 \pm 3$
3777	$2.99 \pm 0.08$	$98 \pm 3$
4738	$3.16 \pm 0.08$	$104 \pm 3$

در حالت تعادل، این زاویه، زاویه‌ی تماس استاتیکی نامیده می‌شود. زاویه‌ی تماس استاتیکی از طریق پروفایل چگالی یا برش عمودی چگالی در قطره‌ی استوانه‌ای اندازه‌گرفته می‌شود. در این روش، امکان پذیر است تا طرح قطره از سطح مایع- بخار و جامد- مایع را متصور سازیم. سطح مشترک بین مایع- بخار به صورت یک دایره درآمده تا ارتفاع  $h$  و فاصله  $a$  را همان‌طور که در شکل ۱۱ تعریف شده، استخراج کنیم.



شکل ۱۱

اگر  $a$  از  $h$  بزرگ‌تر باشد، قطره‌ی آب روی یک سطح آب دوست باقی می‌ماند و زاویه‌ی تماس از رابطه‌ی زیر به دست می‌آید:

$$\theta = A \arcsin\left(\frac{a}{R}\right) \quad (11)$$

در حالی که اگر  $a$  کمتر از  $h$  باشد، قطره‌ی آب گریز باقی می‌ماند و زاویه‌ی تماس از رابطه‌ی زیر به دست می‌آید:

$$\theta = \pi - A \arcsin\left(\frac{a}{R}\right) \quad (12)$$

توجه کنید که  $R$  شعاع دایره منطبق شده است:

$$R = \frac{1}{2h} (a^2 + h^2) \quad (13)$$

این روش تاکنون برای اندازه‌گیری زاویه‌ی تماس در کارهای پیشین مانند کار یانگ و همکارانش [۱۵] استفاده شده است[۱۰]. آنالیز یک سیستم شیاردار دو احتمال را به دست می‌دهد. یا مولکول‌های آب در شیارها نفوذ نمی‌کنند (شکل ۱۲ سمت چپ) یا مولکول‌های آب داخل شیار نفوذ می‌کنند (شکل ۱۲ سمت راست) بسته به آنکه کدام شرایط مساعدتر است[۱۰].

معادله‌ی ونzel تماس رطوبتی را توصیف می‌کند. (شکل ۱۲ سمت راست). بدین معنا که مولکول‌های آب داخل شیارها نفوذ می‌کنند و زاویه‌ی تماس از رابطه‌ی زیر به دست می‌آید:

$$\cos \theta^* = r \cos \theta \quad (14)$$

به طوری که  $\theta^*$  زاویه‌ی تماس رطوبتی،  $\theta$  زاویه‌ی تماس یانگ برای یک سطح صاف و  $r$  فاکتور ناصافی می‌باشد که نسبت فضای حقیقی سطح جامد به فضای آشکار تعریف می‌گردد. بنابراین  $r$  همیشه از ۱ بزرگ‌تر است.

وقتی مولکول‌های آب در شیارها نفوذ نمی‌کنند و قطره روی ستون‌ها باقی می‌ماند زاویه‌ی تماس توسط معادله‌ی کاسی توصیف می‌شود (شکل ۱۲ سمت چپ).

$$\cos \theta^* = f \cos \theta - (1-f) \quad (15)$$

به طوری که  $\theta^*$  زاویه‌ی تماس ترکیبی،  $f$  و  $(1-f)$  به ترتیب کسر سطح از سطح مشترک مایع- جامد و مایع- هوا می‌باشد.

جدول ۵

## Rough Surface Type 3

Size	R [nm]	$\theta$
1943	$2.03 \pm 0.08$	$116 \pm 6$
2829	$2.20 \pm 0.08$	$118 \pm 6$
3777	$2.65 \pm 0.08$	$116 \pm 5$
4738	$3.06 \pm 0.08$	$114 \pm 4$

## سطح شیاردار نوع ۱

Size	f	$\theta_{\text{flat}}$	$\theta^*$ computed from eq.15	$\theta$ Measured
1943	0.5	79	114	113
2829	0.5	84	117	116
3777	0.5	87	118	116
4738	0.5	80	114	111

## سطح شیاردار نوع دوم

Size	f	$\theta_{\text{flat}}$	$\theta^*$ computed from eq.15	$\theta$ Measured
1943	0.75	79	96	101
2829	0.75	84	100	91
3777	0.75	87	102	98
4738	0.75	80	97	104

## سطح شیاردار نوع سوم

Size	f	$\theta_{\text{flat}}$	$\theta^*$ computed from eq.15	$\theta$ Measured
1943	0.5	79	114	116
2829	0.5	84	117	118
3777	0.5	87	118	116
4738	0.5	80	114	114

نتایج برای قطرات آب روی سطح صاف با مقدار تجربی و همچنین با شبیه‌سازی‌های قبلی سازگار است [۳]. همچنین ما می‌توانیم بیان کنیم که تغییر زاویه‌ی تماس با افزایش سایز و اندازه‌ی قطره‌ی آب قابل توجه نیست.

در مقایسه با قطره‌ی آب روی یک سطح صاف، نتایج قطره‌ی آب روی سطح شیاردار نوع یک و سه نشان داده شده است که در واقع سطح بسیار آب گریز است که با مطالعات قبلی همخوانی دارد [۲۴] [۲۵]. تغییر در زاویه‌ی تماس به اندازه‌ی  $33^\circ$  را به سختی مشاهده کردیم. باید توجه شود که هر دو صفحه فقط از لحاظ جهت شیارها فرق دارند. با وجود این، کسری از اتمهای کربن که جدا شده بودند دقیقاً یکسان و مشابه بودند همان طور که در جدول ۵ نشان داده شده است. زاویه‌ی تماسی که در هر

صفحات هر دو نوع یک و سه اندازه گیری شد با پیش‌بینی‌های مدل کاسی در معادله‌ی ۱۵ که مبتنی بر اندازه گیری زاویه‌ی تماس ما روی یک سطح صاف است، قابل قیاس هستند. در واقع، یک نتیجه‌ی قابل ملاحظه است زیرا نظریه‌ی کاسی یک نظریه‌ی پیوستار ماکروسکوپیک است. بنابراین، توانایی اش برای توصیف کردن سیستم‌های با مقیاس نانومتری بحث است چرا که اخیراً آزمایش شده است.

در حقیقت، نتایج آن با نتایج ما که اخیراً توسط یانگ و ژانگ [۱۰] گزارش شده است، مشابه‌ی باشد. در این کار یک سیستم مدل مورد مطالعه قرار گرفت، و قابلیت کاربرد نظریه‌ی کاسی در مقیاس نانومتر تا مادامی که مایعات به داخل شیارها نفوذ نکنند، تصدیق شده است.

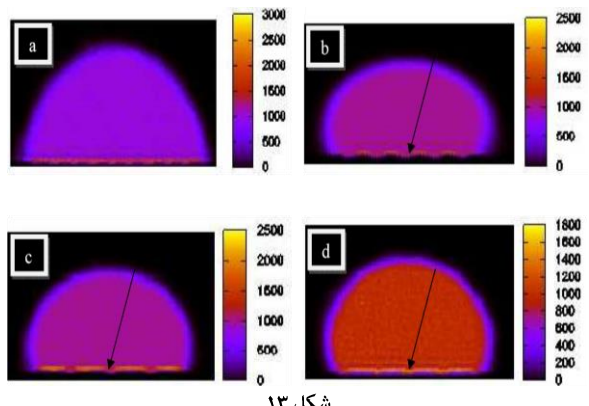
همچنین باید مذکور شویم که تغییر در زاویه‌ی تماسی که در اینجا گزارش شده است به طور کمی با یک مطالعه در گروهی که بر اساس محاسبه‌ی کشش‌های سطحی سیستم‌های مشابه انجام شده بود، سازگار است.

زاویه‌ی تماس قطرات روی سطح گرافیتی نوع دوم در مقایسه‌های صفحات نوع یک و سه مقدار کمتری دارد ولی از صفحات صاف بیشتر است. از جدول ۵ می‌توان ملاحظه کرد بزرگ‌تر تغییر از مرتبه  $16^\circ$  است. بنابراین، می‌توان گفت که سطح، آب دوستی کمتری در مقایسه‌ی با سطح نوع یک و سه دارد. باز دیگر نتایج از لحاظ کمی با نظریه‌ی کاسی در توافق است. در واقع می‌توان از معادله ۱۵ دید که با بزرگ‌تر شدن فاکتور ناصافی، اثر آن بیشینه می‌شود. فاکتور ناصافی (f)، سطح نوع دو نسبت به نوع یک و سه زیادتر است. بنابراین نظریه‌ی کاسی یک زاویه‌ی تماس بزرگ‌تر برای سطوح نوع یک و سه پیش‌بینی می‌کند. این چیزی است که ما در محاسبات مربوط به زاویه‌ی تماسی اندازه گرفتیم.

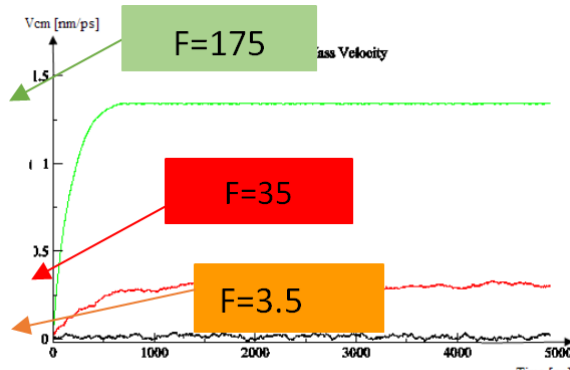
## ۱-۴- پروفایلهای چگالی

مطابق توضیحات قبلی، زاویه‌ی تماس از حد فاصل (محیط مرئی) ذره به دست می‌آید که از پروفایل چگالی در قطره‌ی آب تعریف می‌شود. به منظور به دست آوردن این پروفایلهای چگالی، جعبه‌ی

شبیه‌سازی در اضلاع موازی به ابعاد  $2A \times 51.6 \times 2A^3$  تقسیم شده است. چگالی مکان‌های نقاط جعبه به ازاء هر  $1\text{ ns}$  تخمین زده شده و روی همه شبیه‌سازی‌ها میانگین گرفته شده بود.



شکل ۱۳



شکل ۱۴

در جدول ۷ سرعت های ثابت میانگین ( $V_\infty$ ) و انحراف معیار استانداردشان ( $\sigma$ ) بدست آمده اند. آنها برای هر سیستم به ازاء  $t \geq 2ns$  محاسبه شده اند.

جدول ۷

Flat Surface

F [kJmol⁻¹ nm⁻¹]	$V_\infty$ [nm/ps]	$\sigma$ [nm/ps]
3.5	$1.28 \times 10^{-2}$	$0.97 \times 10^{-2}$
35	$29.82 \times 10^{-2}$	$1.52 \times 10^{-2}$
175	$134.12 \times 10^{-2}$	$0.08 \times 10^{-2}$

Surface type 1

F [kJmol⁻¹ nm⁻¹]	$V_\infty$ [nm/ps]	$\sigma$ [nm/ps]
3.5	$0.26 \times 10^{-2}$	$1.1 \times 10^{-2}$
35	$1.0 \times 10^{-2}$	$1.1 \times 10^{-2}$
175	$6.6 \times 10^{-2}$	$1.3 \times 10^{-2}$

Surface type 2

F [kJmol⁻¹ nm⁻¹]	$V_\infty$ [nm/ps]	$\sigma$ [nm/ps]
3.5	$0.001 \times 10^{-2}$	$1.1 \times 10^{-2}$
35	$0.23 \times 10^{-2}$	$1.15 \times 10^{-2}$
175	$7.2 \times 10^{-2}$	$1.5 \times 10^{-2}$

Surface type 3

F [kJmol⁻¹ nm⁻¹]	$V_\infty$ [nm/ps]	$\sigma$ [nm/ps]
3.5	$0.6 \times 10^{-2}$	$1.0 \times 10^{-2}$
35	$4.75 \times 10^{-2}$	$1.2 \times 10^{-2}$
175	$95.4 \times 10^{-2}$	$4.7 \times 10^{-2}$

از جدول ۷، می توان یک روند کلی را دریافت که می گوید قطره‌ی آب روی سطح صاف سریعتر از سطح ناصاف حرکت می کند. اما وقتی شیارها موازی نیروی خارجی ایجاد شوند، قطره با

از عکس فوری در شکل ۱۳ پروفایل چگالی تعدادی از لایه‌های مربوط به مولکولهای سطحی آب رانشان می دهد می توان مشاهده کرد. این مطلب در مطالعات متعددی از شبیه سازی مولکولی آب-گرافیت آمده است. به غیر از آن لایه ها، همیشه از روی تابع چگالی می توان مجموعه را یک توده ی آبدار نظر گرفت. عکس d,c,b به ترتیب پروفایل چگالی قطره‌ی آب روی سطح گرافیت نوع یک، دو سه را نشان می دهد. فلش ها روی شکل ۱۳ به حضور چگالی بین شیارها اشاره دارند. به نظر می رسد که مولکول های آب می خواهند به داخل شیارها نفوذ کنند.اما، فاصله ی بین شیارها خیلی به اندازه ی مولکول آب نزدیک است، بنابراین ممکن است از نفوذ جلوگیری شود. در واقع، آن چگالی جرم های ناشی از اتم های هیدروژن و نه اتم های اکسیژن که مشاهده شده اند می توانند به شیارها نفوذ کنند.

۲-۴- حرکت قطره‌ی آب توسط نیرو های خارجی بعد از به تعادل رسیدن قطره‌ی آب روی سطح گرافیتی، یک نیروی خارجی به منظور شروع حرکت قطعه‌ی آب به کار برده شد. نیروی خارجی در جهت مثبت  $x$  روی جرم تک تک اتم های اکسیژن و هیدروژن و در جهت منفی  $x$  به هر اتم کربن اعمال گردید. نیروی خارجی به کار برده شده ی کلی به صورت  $F_{ex}$  بیان می شود:

$$F_{ex} = \sum_{i=1}^{N_H} m_H f_W + \sum_{i=1}^{N_O} m_O f_W - \sum_{i=1}^{N_C} m_C f_C \quad (17)$$

که صفر می باشد.  $N_C$  و  $N_O$  و  $N_H$  به ترتیب تعداد اتم ها،  $m_C$  و  $m_O$  و  $m_H$  جرم و  $f_C$  و  $f_W$  نیروی خارجی برای اتم های مایع و کربن هستند. نیروهای خارجی را برای یک قطره‌ی آب متشکل از ۱۹۴۳ مولکول آب قرار گرفته شده روی یک سطح صاف و سه سطح ناصاف مختلف که در بخش ۳.۲ با اتم های یکسان در تمام سیستم ها به کار بردیم. تعداد اتم ها و اندازه ی نیروی خارجی در جدول ۶ گزارش شده است.

جدول ۶

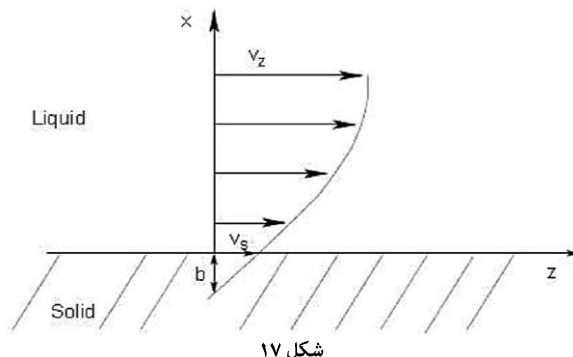
$f_w$ [kJmol⁻¹ nm⁻¹ kg⁻¹]	$f_c$ [kJmol⁻¹ nm⁻¹ kg⁻¹]	$N_H$	$N_O$	$N_C$	$F_{ex}$ (fluid) [kJmol⁻¹ nm⁻¹]	$F_{ex}$ (solid) [kJmol⁻¹ nm⁻¹]
0.0001	0.000062	3886	1943	4704	3.50	-3.50
0.001	0.00062	3886	1943	4704	34.99	-34.99
0.005	0.0031	3886	1943	4704	174.97	-174.97

ما سرعت مرکز جرم یک قطره‌ی آب را نسبت به زمان در طول شبیه سازی هایی با زمان ۵ ns محاسبه کردیم. رفتار وابستگی زمانی عنصر  $x$  و سرعت مرکز جرم قطره روی سطح صاف در شکل ۱۴ نشان داده شده است.

شکل ۱۶ می توان متوجه شد که در حالت یکنواخت، قطره می غلتند.

زمانی که قطره روی یک سطح صاف قرار دارد، اکثر بردارها شدتگشای صفر است، این نشان می دهد که مولکول آب یک حرکت براوونی در چارچوب مرکز جرم آب دارد. از مطالعه‌ی میدان سرعت، نتیجه می گیریم که قطره‌ی آب روی سطح صاف سر می خورد در حالی که روی سطح ناصاف می غلتند.

دی‌زن و یانگ و همکارانش اظهار داشتند که حرکت یک قطره‌ی ماکروسکوپیک توسط هندسه‌ی قماس (شکل تماس با سطح) کنترل می شود. یک قطره روی یک سطح آب گریز دارای یک شکل تقریباً کروی با توانایی غلتیدن روی یک سطح است، می باشد. در مقابل یک قطره روی یک سطح آب دوست به جای اینکه بغلتند سر می خورد، زیرا حرکتشان توسط هندسه‌ی سطح مشترک جامد و مایع کنترل می شود [28] [29]. نتایجی که به دست آوردمی، نشان می‌دهند که این رفتارهای همچنین برای نانو-قطرات به کارمی رود. یک روش برای فهمیدن پدیده‌ی اصطکاک می تواند بررسی شرط مزی سرعت و طول لغزش باشد.



با استفاده از شبیه سازی MD، سندر و همکارانش اخیراً دریافتند که در مورد آب روی الماس، مقدار طول لغزش به برهمن کنش جامد-مایع و ناصافی سطح بستگی دارد. آنها دریافتند که طول لغزش برای یک سطح ناصاف همیشه کوچک‌تر از یک سطح صاف است. یعنی، اصطکاک در برهمن کنش مایع-جامد توسط ناصافی سطح افزایش می‌باید [27].

در مقایسه با مطالعات سندر و همکارانش، سیستم‌های ما رفتار مشابه دارند در حالی که سرعت قطره در مجاورت سطح روی یک سطح صاف نسبت به سطح ناصاف سریع‌تر است. در جدول ۷، سرعت ثابت برای تمام سیستم‌ها آورده شده است. می‌بینیم که قطره‌ی آب روی یک سطح صاف نسبت به یک سطح ناصاف سریع‌تر حرکت می‌کند. این بدین معنی است که اصطکاک بین جامد و مایع با ناصافی افزایش می‌باید و حرکت قطره را مشکل می‌کند.

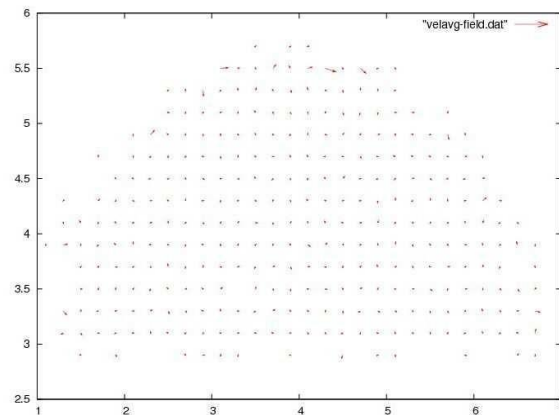
#### ۳-۴- زاویه‌ی قماس دینامیکی

پسمند زاویه‌ی قماس نقش مهمی را در حرکت قطره به اندازه‌ی پدیده‌ی اصطکاک که مخالف حرکت است ایفا می‌کند، همانطور که هالورسون و همکارانش اشاره کردند در روی صفحاتی که شیب

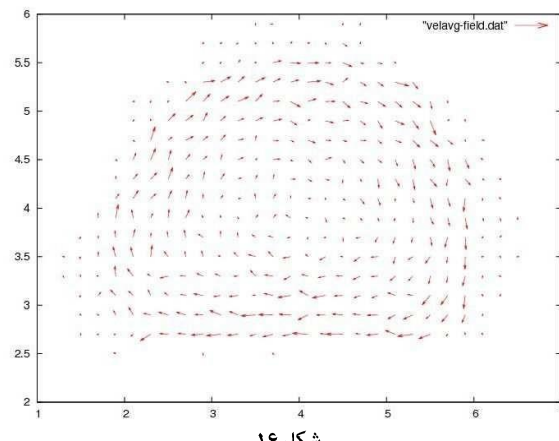
یک بزرگی قابل مقایسه با حرکت روی سطح صاف حرکت می کند. یعنی سرعت نسبت به دو سطح ناصاف دیگر بیشتر بوده و می توان آن را با سطح صاف مقایسه کرد.

از محاسبه  $\sigma$  بیان می کنیم که روی سطح صاف در حضور شدیدترین نیروی خارجی نوسانات  $V_{\infty}$  نسبت به سیستم‌های دیگر بسیار کوچک است. در مقابل، این اختلافات برای شدید ترین میدان خارجی نسبت به سیستم‌های دیگر بزرگ‌تر هستند. از جدول ۷ درمی‌یابیم که سرعت قطره‌ی آب روی یک سطح ناصاف نسبت به زمانی که روی یک سطح صاف حرکت می‌کند تر است. به نظر می‌رسد که ضریب اصطکاک وقتی که سطح شیاردار است، افزایش می‌یابد.

برای فهمیدن بهتر مطلب، میدان‌های سرعت ثابت در قطره را وقتی که روی سطح صاف و ناصاف نوع ۱ حرکت می‌کند، رسم کرده‌ایم. این پروفایل‌ها در چارچوب مرکز جرم قطره محاسبه شده اند.



شکل ۱۵



همانطور که ملاحظه می‌کنیم میدان سرعت ثابت در قطره‌ی آب روی سطح صاف (شکل ۱۵) و روی سطح ناصاف (شکل ۱۶)، رفتار متفاوتی را نشان می‌دهد. در هر دو نمودار بردارها سرعت میانگین یک المان با حجم  $A = 51.6 \times 2^3$  در چارچوب مرکز جرم قطره را بیان می‌کند. در مورد قطره‌ی روی سطح ناصاف

می توانیم ملاحظه کنیم که در تمام موارد زاویه ی تماس پسین مقدار کم تری نسبت پیشین دارد. به علاوه، وقتی نیروی خارجی افزایش می یابد، اختلاف بین آنها زیاد می شود. این اختلاف ناشی از اندازه گیری زاویه ی تماس از تصویر چگالی با یک بررسی اجمالی است.

با این وجود نتایج با مطالعه ها ای قبلی نظری کار هانگ و همکارانش [12] سازگار است. اختلاف در زاویه ی تماس برای تمام سیستم ها کاملاً مشابه است. این اختلافات تنها بین  $1^{\circ}$  تا  $5^{\circ}$  تغییر می کند.

#### ۵- نتیجه گیری

محاسبات برای یک سیستم که از قطره ی آب مایع تولید شده بود و تعادل آن روی یک سطح گرافیت به وسیله ی شبیه سازی های دینامیک مولکولی شرح داده شد. ما قطره با سایزهای مختلف را تولید کردیم. همچنین، یک مطالعه در مورد انتخاب شعاع قطع برای واکنش های بین مولکولی لازم بود. متعاقباً، برای چهار سیستم مختلف، شبیه سازی هایی انجام دادیم: قطره ی آب روی یک سطح صاف و سه سطح شیاردار مختلف.

در قسمتی که سیستم ها در حالت استاتیک قرار گرفتند، زاویه ی تماس قطره ی روی سطح گرافیت را به دست آوردیم. مقادیر را سازگار با آزمایشات و مطالعات قبلی یافتیم.

همچنین با افزایش سایز قطره، زاویه ی تماس تغییر خاصی نمی کند. آب گریزی با ناصافی سطح افزایش می یابد. از نظر کمی، نتایجمان را که با سیستم های نانو متري سروکار داشت، با نظریه ی ماکروسکوپی کاسی سازگار یافتیم.

در ارتباط با دینامیک سیستم ها، دریافتیم زمانی که نیروی ثابت به قطره اعمال می گردد و آن قطره روی سطح صاف نسبت به سطح ناصاف سریع تر حرکت می کند. اما وقتی شیارها موازی نیروی خارجی هستند، قطره با سرعت ثابتی که اندازه ی آن قابل مقایسه با سرعت حرکت روی سطح صاف است حرکت می کند. به دلیل این که اصطکاک بین جامد و مایع در اثر ناصافی افزایش می یابد، این اتفاق می افتد.

همچنین مشاهده کردیم که قطره ی آب روی یک سطح صاف سر می خورد در حالی که روی یک سطح ناصاف می غلتند که این رفتار متناسب است با قطرات ماکروسکوپیکی که حرکتشان به وسیله ی هندسه سطح تعیین می شود.

پسمند زاویه ی تماس در حالت ثابت تنها از  $1^{\circ}$  تا  $5^{\circ}$  تغییر می کند. فعالیت های گسترش یافته در افزایش مطالعات در حوزه ی مهندسی مواد بسیار مهم بودند.

#### ۶- منابع

- [1] H. Asakura, A. Nakajima, M. Sakai, S. Suzuki, Y. Kameshima and K. Okada “Deformation and motion by gravity and magnetic field of a droplet of waterbased magnetic fluid on a hydrophobic surface” Applied Surface Science, 2007, Volume 253, pages 3098–3102

روطوبتی دارند حرکت یک قطره باعث ایجاد تعادل بین نیروی اصطکاک و اختلاف زاویه ی تماس می شود [4].

زمانی که قطره ی آب حرکتش را تحت میدان خارجی شروع می کند، بین زاویه ی تماس پسین و پیشین اختلافی وجود دارد. برای اندازه گیری زاویه ی تماس دینامیکی، یک روش مشابه با روش استاتیکی استفاده می شود. تفاوتی که اینجا وجود دارد این است که به جای یک دایره لازم است دو دایره رسم کنیم. مقادیر زاویه ی تماس پسین و پیشین در جدول ۸ آمده است.

جدول ۸

زاویه ی پسین

Flat	R	$\theta_R$
F <sub>1</sub>	2.60	$77 \pm 2$
F <sub>2</sub>	25.16	$77 \pm 2$
F <sub>3</sub>	25.34	$82 \pm 2$
Type 1	R	$\theta$
F <sub>1</sub>	19.68	$114 \pm 4$
F <sub>2</sub>	19.11	$115 \pm 4$
F <sub>3</sub>	18.91	$112 \pm 4$
Type 2	R	$\theta$
F <sub>1</sub>	20.87	$96 \pm 3$
F <sub>2</sub>	20.21	$100 \pm 3$
F <sub>3</sub>	21.26	$95 \pm 3$
Type 3	R	$\theta$
F <sub>1</sub>	19.82	$111 \pm 4$
F <sub>2</sub>	19.29	$110 \pm 4$
F <sub>3</sub>	19.16	$110 \pm 4$

زاویه ی پیشین

Flat	R	$\theta_A$
F <sub>1</sub>	2.47	$78 \pm 2$
F <sub>2</sub>	24.46	$79 \pm 2$
F <sub>3</sub>	24.74	$84 \pm 2$
Type 1	R	$\theta$
F <sub>1</sub>	19.63	$115 \pm 2$
F <sub>2</sub>	19.02	$116 \pm 2$
F <sub>3</sub>	18.38	$115 \pm 2$
Type 2	R	$\theta$
F <sub>1</sub>	20.42	$99 \pm 3$
F <sub>2</sub>	19.66	$104 \pm 3$
F <sub>3</sub>	20.22	$100 \pm 3$
Type 3	R	$\theta$
F <sub>1</sub>	19.57	$112 \pm 4$
F <sub>2</sub>	18.70	$113 \pm 4$
F <sub>3</sub>	18.40	$114 \pm 4$

- [2] T. Werder, J. H. Walther, R. L. Jaffe and P. Koumoutsakos "Water-Carbon Interactions: Potential Energy Calibration Using Experimental Data" Proceedings of the Nano Technology Conference and Trade Show, 2003, Volume 3, pages 546–548
- [3] T. Werder, J. H. Walther, R. L. Jaffe, T. Halicioglu, and P. Koumoutsakos, "On the Water-Carbon Interaction for Use in Molecular Dynamics Simulations of Graphite and Carbon Nanotubes", *The Journal of Physical Chemistry*, 2003, Volume 107, page 1345
- [4] J. D. Halverson, C. Maldarelli, A. Couzis, and J. Koplik, "A molecular dynamics study of the motion of a nanodroplet of pure liquid on a wetting gradient", *The Journal of Physical Chemistry*, 2008, Volume 129, page 164708
- [5] B. Shi and V. K. Dhir, "Molecular dynamics simulation of the contact angle of liquids on solid surfaces", *The Journal of Chemical Physics*, 2009, Volume 130, pages 034705-1 – 034705-5
- [6] S. Maruyama, T. Kimura and M. Lu, "Molecular scale aspects of liquid contact on a solid surface", *Thermal Science & Engineering*, 2002, Volume 10, pages 23-29
- [7] S. Matsumoto, S. Maruyama and H. Saruwatari, "A molecular dynamics simulation of a liquid droplet on a solid surface", *Thermal Engineering Conference, ASME*, 1995, Volume 2, pages 557 – 562
- [8] J. H. Park and N. R. Aluru, "Temperature-dependent wettability on a titanium dioxide surface", *Molecular Simulation*, 2009, Volume 35, pages 31 – 37
- [9] M. Lundgren, N. L. Allan, and T. Cosgrove. "Molecular dynamics study of wetting of a pillar surface", *Langmuir*, 2003, Volume 19, pages 7127 – 7129
- [10] X. Young and L. T. Zhang, "Nanoscale wetting on groove-patterned surfaces", *Langmuir*, 2009, Volume 25, pages 5045 – 5053
- [11] J. T. Hirvi and T. A. Pakkanen, "Wetting of nanogrooved polymer surfaces" *Lagmuir*, 2007, Volume 23, pages 7724 – 7729
- [12] S. D. Hong, M. Y. Ha, S. Balachandar, "Static and dynamic contact angles of water droplet on a solid surface using molecular dynamics simulation" *Journal of Colloid and interface Science*, 2009, Value 339, pages 187 – 195.
- [13] S. Pal, H. Weiss, H. Keller and F. Müller-Plathe, "Effect of nanostructure on the properties of water at the water-hydrophobic interface: a molecular dynamics study", *Langmuir*, 2005, Volume 21, pages 3699-3709
- [14] M. P. Allen and D. J. Tildesley, "Computer simulation of liquids", Oxford University Press 1987, Volume 2, pages 71-108.
- [15] D. Frenkel and B. Smit, "Understanding Molecular Simulation", Academic Press 2002, Volume 2, page 63-105.
- [16] P. E. Smith, and W. F. van Gunsteren, "Reaction Field Effects on the Simulated Properties of Liquid Water", *Molecular Simulation*, 1995, Volume 15, pages 233-245
- [17] S. Senapati and A. Chandra, "Dielectric Constant of Water Confined in a Nanocavity", *The Journal of Physical Chemistry*, 2001, Volume 105, pages 5106-5109.
- [18] D. Bedrov and G. D. Smith, "Molecular Dynamics Simulation Study of the Structure of Poly(ethylene oxide) Brushes on Nonpolar Surfaces in Aqueous Solution", *Langmuir*, 2006, Volume 22, pages 6189–6194
- [19] H. J. C. Berendsen, J. R. Grigera and T. P. Straatsma, "The Missing Term in Effective Pair Potentials" *Journal of Physical Chemistry*, 1987, Volume 91, pages 6269-6271
- [20] F. Müller-Plathe, "YASP: A molecular simulation package", *Computer Physics Communications*, 1993, Volume 78, pages 77-94
- [21] V. G. Baidakov, G. G. Chernykh and S. P. Protsenko, "Effect of the cut-off radius of the intermolecular potential on phase equilibrium and surface tension in Lennard-Jones systems", *Chemical Physics Letters*, 2000, Volume 321, pages 315 – 320
- [22] C. Vega and E. de Miguel, "Surface tension of the most popular models of water by using the test-area simulation method", *The Journal of Physical Chemistry*, 2007, Volume 126, page 154707
- [23] J. Servantie and M. Müller "Statics and dynamics of a cylindrical droplet under an external body force", *The Journal of Physical Chemistry*, 2008, Volume 128, page 14709
- [24] M. Lundgren, N. L. Allan and T. Cosgrove "Modeling of Wetting: A Study of Nanowetting at Rough and Heterogeneous Surfaces" *Langmuir*, 2007, Volume 23, pages 1187 – 1194
- [25] S. Pal, H. Weiss, H. Keller, and F. Müller-Plathe "Effect of Nanostructure on the

Properties of Water at the Water-Hydrophobic Interface: A Molecular Dynamics Simulation”

Langmuir, 2005, Volume 21, pages 3699-3709

[26] N. K. Ahmed and M. Hecht “A boundary condition with adjustable slip length for Lattice Boltzmann Simulations” Soft condensed materials, 2009, arXiv:0907.2877v2, pages 1 – 14

[27] C. Sendner, D. Horinek, L. Bocquet, and R. R. Netz, “Interfacial Water at Hydrophobic and

Hydrophilic Surfaces: Slip, Viscosity, and Diffusion” Langmuir, 2009, Volume 25, pages 10768 - 10781

[28] P. G. Gennes, “Wetting: Statics and Dynamics” Reviews of Modern Physics, 1985, Volume 57, pages 827 – 863

[29] C. Yang, U. Tartaglino, and B. N. J. Persson, “Influence of Surface Roughness on Superhydrophobicity” Physical Review Letters, 2006, Volume 97, page 116103